

СИНГУЛЯРНЫЕ ФУНКЦИИ СПИНОРНОГО ПОЛЯ В КЭД С СИЛЬНЫМ ВНЕШНИМ ПОЛЕМ

A. И. Бреев^{a}, С. П. Гаврилов^{a,b**}, Д. М. Гитман^{a,c,d***}*

*^a Томский государственный университет
634050, Томск, Россия*

*^b Российский государственный педагогический университет им. А. И. Герцена
191186, Санкт-Петербург, Россия*

*^c Физический институт им. П. Н. Лебедева Российской академии наук
119991, Москва, Россия*

*^d Институт физики, Университет Сан-Паулу
05508-090, Сан-Паулу, Бразилия*

Поступила в редакцию 29 сентября 2021 г.,
после переработки 29 сентября 2021 г.
Принята к публикации 18 октября 2021 г.

Построены и исследованы сингулярные функции в КЭД сильного поля с двумя типами внешних электромагнитных полей, которые принципиально различны. Первый тип относится к классу так называемых t -потенциальных электрических ступеней (электрические поля включаются и выключаются в начальный и конечный моменты времени), а второй — к классу так называемых x -потенциальных электрических ступеней (не зависящие от времени электрические поля постоянного направления, которые сосредоточены в ограниченном пространстве). Первый тип (T -постоянное электрическое поле) представляет собой однородное электрическое поле, которое действует в течение конечного промежутка времени T , а второй (L -постоянное электрическое поле) — постоянное электрическое поле, ограниченное двумя обкладками конденсатора, разделенными большим расстоянием L . Для обоих случаев найдены *in-* и *out-*решения уравнения Дирака в терминах переменных светового конуса. При помощи этих решений строятся интегральные представления Фока–Швингера по собственному времени для всех сингулярных функций, которые обеспечивают непертурбативные (по отношению к внешнему полю) вычисления любых амплитуд переходов и средних значений всех физических величин. Рассматривая T -постоянное и L -постоянное поля как различные регуляризации постоянного однородного электрического поля, можно показать их эквивалентность для достаточно больших T и L .

DOI: 10.31857/S0044451022020055

1. ВВЕДЕНИЕ

Квантовая электродинамика (КЭД) идеально описывает процессы с взаимодействующими заряженными частицами и фотонами. КЭД с внешним электромагнитным полем представляет собой удобную модель для рассмотрения процессов с небольшим количеством данных частиц на фоне, создаваемом огромным количеством фотонов, совокупность

которых при определенных обстоятельствах может быть описана полуклассически [1] и выглядит в модели как внешнее поле. Таким образом, в данной модели электромагнитное поле проявляется как внешнее классическое поле и фотоны, которые описываются чисто квантовым образом. Такая модель обычно называется КЭД сильного поля.

Внешнее поле в КЭД сильного поля не может трактоваться пертурбативно и должно учитываться точно, тогда как для процессов с заряженными частицами и фотонами можно построить теорию возмущений. В такой теории возмущений возникают процессы нулевого порядка без фотонов и процессы более высокого порядка с фотонами. Существенная и нетривиальная часть КЭД сильного

* E-mail: breev@mail.tsu.ru

** E-mail: gavrilovsergey@yahoo.com

*** E-mail: dmitrygitman@hotmail.com

поля связана с процессами нулевого порядка. Рождение частиц из вакуума сильными электрическими внешними полями (эффект Швингера [2], привлекающий внимание уже давно, или, другими словами, нестабильность вакуума), по сути, является проявлением процессов нулевого порядка. Для зависящих от времени внешних электрических полей, которые включаются и выключаются в начальный и конечный моменты времени, теория возмущений с учетом радиационных поправок и с точным учетом взаимодействия с сильным внешним полем была развита в работах [3]. Данные внешние поля постоянного направления называются t -электрическими ступеньками (далее — t -ступеньками). А теория возмущений использует существенно специальные наборы точных решений уравнения Дирака для соответствующих t -ступенек (примеры, когда такие решения могут быть найдены и все вычисления могут быть выполнены аналитически, мы называем точно решаемыми случаями). Она включает в себя технику расчета процессов нулевого порядка, модифицированные правила Фейнмана для расчета амплитуд рассеяния с заряженными частицами и фотонами и теорию возмущений для расчета средних значений. Для простоты эффекты рождения частиц обычно рассматриваются в однородных внешних электрических полях, зависящих от времени.

Подходы к рассмотрению квантовых эффектов в КЭД сильного поля в t -ступеньках не применимы напрямую к КЭД сильного поля в не зависящих от времени электрических внешних полях постоянного направления, которые сосредоточены в ограниченной пространственной области, в так называемых x -ступеньках электрического потенциала (далее — x -ступеньках). В работе [4] был построен непертурбативный подход для расчета процессов нулевого порядка в КЭД сильного поля в x -ступеньках. Соответствующая техника основана на использовании специальных наборов точных решений уравнения Дирака в x -ступеньке. Эти решения представляют собой стационарные плоские волны с заданными продольными импульсами p^L и p^R в макроскопических областях слева и справа от x -ступеньки, соответственно (см. [4–6]). По аналогии с КЭД сильного поля в t -ступеньках можно построить теорию возмущений для КЭД сильного поля в критических x -ступеньках по радиационным поправкам и с точным учетом взаимодействия с сильным полем.

Сингулярные функции спинорного поля в соответствующих внешних полях (обобщающие известные сингулярные функции в стандартной КЭД, см. [7]) являются ключевыми элементами для построения

ния теорий возмущений в КЭД сильного поля, как в t -ступеньках, так и в x -ступеньках. При этом амплитуды перехода и средние значения физических величин выражаются через причинный пропагатор (in-out-пропагатор) $S^c(X, X')$, так называемый in-in-пропагатор $S_{\text{in}}^c(X, X')$ и out-out-пропагатор $S_{\text{out}}^c(X, X')$. В свою очередь, данные сингулярные функции связаны с in- и out-вакуумом следующим образом:

$$\begin{aligned} S^c(X, X') &= i \langle 0, \text{out} | \hat{T}\hat{\Psi}(X) \times \\ &\quad \times \hat{\Psi}^\dagger(X') \gamma^0 | 0, \text{in} \rangle / \langle 0, \text{out} | 0, \text{in} \rangle, \\ S_{\text{in}}^c(X, X') &= i \langle 0, \text{in} | \hat{T}\hat{\Psi}(X) \hat{\Psi}^\dagger(X') \gamma^0 | 0, \text{in} \rangle, \\ S_{\text{out}}^c(X, X') &= i \langle 0, \text{out} | \hat{T}\hat{\Psi}(X) \hat{\Psi}^\dagger(X') \gamma^0 | 0, \text{out} \rangle. \end{aligned} \quad (1)$$

Здесь $\hat{\Psi}(X)$ — оператор поля в представлении Гейзенберга, удовлетворяющий уравнению Дирака в соответствующем внешнем поле,

$$\begin{aligned} X &= (X^\mu) = (t, \mathbf{r}), \quad t = X^0, \quad \mathbf{r} = (X^k), \\ x &= X^1, \quad \mu = 0, 1, \dots, D, \quad k = 1, \dots, D, \end{aligned}$$

\hat{T} обозначает операцию хронологического упорядочения; $|0, \text{in}\rangle$ и $|0, \text{out}\rangle$ — начальный и конечный вакуум, соответственно.

Отметим, что, несмотря на то, что формальные представления (1) верны в КЭД сильного поля как в t -ступеньках, так и в x -ступеньках, in- и out-решения строятся по-разному, так же, как и операторы рождения и уничтожения и соответствующие вакуумные состояния.

Уравнение Дирака во внешнем электромагнитном поле заданным потенциалом $A_\mu(X)$ в d -мерном пространстве-времени имеет вид ($\hbar = c = 1$)

$$\begin{aligned} (\gamma^\mu P_\mu - m) \psi(X) &= 0, \\ P_\mu &= i\partial_\mu - qA_\mu(X), \end{aligned}$$

где $\psi(X)$ — $2^{[d/2]}$ -компонентный спинор, γ^μ — матрицы Дирака,

$$[\gamma^\mu, \gamma^\nu]_+ = 2\eta^{\mu\nu}, \quad \eta^{\mu\nu} = \underbrace{\text{diag}(1, -1, \dots, -1)}_d,$$

$$d = D + 1,$$

$q = -e$, $e > 0$ — заряд электрона, m — его масса.

Заметим, что в случае, когда вакуум нестабилен, все сингулярные функции (1) различны. Различия между функциями $S_{\text{in}}^c(X, X')$, $S_{\text{out}}^c(X, X')$ и причинным пропагатором $S^c(X, X')$ обозначаются через $S^p(X, X')$ и $S^{\bar{p}}(X, X')$,

$$\begin{aligned} S^p(X, X') &= S_{\text{in}}^c(X, X') - S^c(X, X'), \\ S^{\bar{p}}(X, X') &= S_{\text{out}}^c(X, X') - S^c(X, X'). \end{aligned} \quad (2)$$

Перестановочная функция

$$\begin{aligned} S(X, X') &= i[\hat{\Psi}(X), \hat{\Psi}^\dagger(X')\gamma^0]_+, \\ S(X, X')|_{t=t'} &= i\gamma^0\delta(\mathbf{r} - \mathbf{r}'), \end{aligned} \quad (3)$$

является важной характеристикой спинорного поля. Ее вид существенно зависит от структуры внешнего поля. В работах [3] сформулированы правила построения всех необходимых сингулярных функций в виде сумм по соответствующим точным решениям уравнения Дирака для t -ступенек. Те же идеи можно использовать для построения сингулярных функций в КЭД сильного поля в x -ступеньках.

В случае постоянного однородного электромагнитного поля причинный пропагатор электрона $S^c(X, X')$ был найден в явном виде как интеграл по собственному времени Фока–Швингера много лет назад [2]. Этот вид основывается на методе эффективного действия, см. [8]. Очевидно, что постоянное однородное электромагнитное поле — это идеализация, которая полезна для описания эффектов в медленно меняющихся и слабо неоднородных полях. Случай постоянного однородного электромагнитного поля рассматривается как приближение в ведущем порядке теоретико-полевых расчетов [9, 10], т. е. приближения локально постоянного поля (см., например, работы [11–17] и ссылки в них).

Постоянное однородное электрическое поле можно рассматривать как предел T -постоянного электрического поля (однородное электрическое поле, которое действует в течение временного интервала T) большой длительности или как предел L -постоянного электрического поля (постоянного электрического поля, заключенного между двумя обкладками конденсатора, разделенными расстоянием L) большого пространственного масштаба. КЭД сильного поля для T -постоянного электрического поля и L -постоянного электрического поля описывает физически разные задачи. В этой работе мы получим явный вид для всех указанных выше сингулярных функций и покажем, что в пределе $T, L \rightarrow \infty$ оба подхода приводят к одним и тем же результатам.

В данной работе мы строим и исследуем спинорные сингулярные функции в КЭД сильного поля в T -постоянном электрическом поле и в КЭД сильного поля в L -постоянном электрическом поле. С этой целью в разд. 2 мы находим in- и out-решения уравнения Дирака в T -постоянном электрическом поле, используя переменные светового конуса. С помощью этих решений мы строим интегральные представления Фока–Швингера по собственному времени для всех сингулярных функций, которые обеспечивают непертурбативные (по отношению к внешне-

му полю) вычисления любых амплитуд переходов и средних значений любых физических величин. Эти представления получены для произвольной ориентации внешнего электрического поля, что нетривиальным образом обобщает результаты работ [18, 19]. В разд. 3 мы находим соответствующие наборы in- и out-решений уравнения Дирака в L -постоянном электрическом поле в переменных светового конуса. При помощи данных наборов мы строим интегральные представления Фока–Швингера для соответствующих спинорных сингулярных функций. Полученные результаты обсуждаются в разд. 4. Рассматривая вычисления в T -постоянном поле и L -постоянном поле как различные регуляризации соответствующих вычислений в постоянном однородном электрическом поле, мы показываем их эквивалентность для достаточно больших значений T и L .

2. СИНГУЛЯРНЫЕ ФУНКЦИИ В КЭД СИЛЬНОГО ПОЛЯ В Т-ПОСТОЯННОМ ЭЛЕКТРИЧЕСКОМ ПОЛЕ

2.1. In- и out-решения

В данном разделе мы рассмотрим случай t -ступеньки, которая представляет собой T -постоянное электрическое поле, действующее в течение большого промежутка времени. T -постоянное поле является одной из возможных регуляризаций постоянного однородного электрического поля в пределе $T \rightarrow \infty$. Для построения спинорных сингулярных функций нам понадобятся два полных набора решений уравнения Дирака, in-решения $\{\zeta\psi_n(x)\}$ и out-решения $\{\zeta\psi_n(x)\}$ со специальной асимптотикой при $t \rightarrow -\infty$ и $t \rightarrow +\infty$, соответственно. Нижний индекс $\zeta = +$ асимптотически соответствует электронам, а $\zeta = -$ асимптотически соответствует позитронам. Поскольку явный вид искомых решений нетривиально зависит от ориентации электрического поля относительно оси x , ниже мы рассмотрим оба случая по отдельности.

Рассмотрим постоянное электрическое поле, которое имеет только одну ненулевую компоненту E_x вдоль оси x . Поле задается зависящим от времени электромагнитным потенциалом $A_\mu(X)$,

$$A_\mu(X) = E_x t \delta_\mu^1, \quad E_x = \kappa E, \quad \kappa = \pm 1, \quad E > 0. \quad (4)$$

Случай $\kappa = -1$ был рассмотрен в работах [18, 19]. Отметим, что в случае $\kappa = +1$ направление поля совпадает с направлением поля в общей формулировке КЭД сильного поля в x -ступеньках, приведенной в [4].

Введем полный набор решений уравнения Дирака, имеющих следующий вид:

$$\begin{aligned}\psi(X) &= (\gamma P + m) \Phi(X), \quad X = (t, x, \mathbf{r}_\perp), \\ \Phi(X) &= \phi(t, x) \varphi_{\mathbf{p}_\perp}(\mathbf{r}_\perp) v_{\chi, \sigma}, \\ \varphi_{\mathbf{p}_\perp}(\mathbf{r}_\perp) &= (2\pi)^{-(d-2)/2} \exp(i\mathbf{p}_\perp \cdot \mathbf{r}_\perp), \\ \mathbf{r}_\perp &= (X^2, \dots, X^D), \quad \mathbf{p}_\perp = (p^2, \dots, p^D), \\ \boldsymbol{\gamma}_\perp &= (\gamma^2, \dots, \gamma^D),\end{aligned}\quad (5)$$

где $v_{\chi, \sigma}$ — набор постоянных ортонормированных спиноров,

$$\chi = \pm 1, \quad \sigma = (\sigma_1, \sigma_2, \dots, \sigma_{[d/2]-1}), \quad \sigma_j = \pm 1.$$

Спиноры $v_{\chi, \sigma}$ удовлетворяют соотношениям

$$\gamma^0 \gamma^1 v_{\chi, \sigma} = \chi v_{\chi, \sigma}, \quad v_{\chi, \sigma}^\dagger v_{\chi', \sigma'} = \delta_{\chi, \chi'} \delta_{\sigma, \sigma'}.$$

Фактически, функции (5) соответствуют состояниям с заданными импульсами \mathbf{p}_\perp в направлении, перпендикулярном оси x . Квантовые числа χ и σ_j опписывают поляризацию спина и обеспечивают удобную параметризацию решений. Поскольку в измерениях $(1+1)$ и $(2+1)$ ($d=2, 3$) нет спиновых степеней свободы, квантовые числа σ отсутствуют. Заметим, что в размерностях $(2+1)$ существуют два неэквивалентных представления для γ -матриц, которые соответствуют разным сортам фермионов, которые параметризуются параметром $\chi = \pm 1$. В d -измерениях для любых заданных импульсов существует только $J_{(d)} = 2^{[d/2]-1}$ различных состояний спина. Причем решения (5), которые различаются только значениями χ , линейно зависимы. Без ограничения общности положим $\chi = 1$ и введем обозначение $v_\sigma = v_{1, \sigma}$.

Скалярные функции $\phi(t, x)$ удовлетворяют уравнению

$$\left\{ \partial_t^2 - \partial_x^2 + 2ie\kappa Et\partial_x + \right. \\ \left. + [(eEt)^2 - ie\kappa E + \mathbf{p}_\perp^2 + m^2] \right\} \phi(t, x) = 0. \quad (6)$$

Рассмотрим решения уравнения Дирака с определенными значениями импульсов,

$$\begin{aligned}\psi_n(X) &= (\gamma P + m) \phi_n(t, x) \varphi_{\mathbf{p}_\perp}(\mathbf{r}_\perp) v_\sigma, \\ \phi_n(t, x) &= e^{ip_x x} \phi_n(t), \quad n = (p_x, \mathbf{p}_\perp, \sigma), \\ p_x &= p^1, \quad \hat{p}_x \psi_n(X) = p_x \psi_n(X), \quad \hat{p}_x = -i\partial_x.\end{aligned}\quad (7)$$

Асимптотики решений (7) для $\kappa = -1$ и $\kappa = +1$ при $t \rightarrow \pm\infty$ были исследованы в работах [19] и [20], соответственно. Решения

$$\begin{aligned}_{\pm} \phi_n(t, x) &= C_n e^{ip_x x} D_{-\rho} [\pm(1+i)\xi], \quad \kappa = +1, \\ {}_{\mp} \phi_n(t, x) &= \check{C}_n e^{ip_x x} D_{\rho-1} [\pm(1-i)\xi], \quad \kappa = +1, \\ {}_{\pm} \phi_n(t, x) &= C_n e^{ip_x x} D_{\rho-1} [\pm(1-i)\xi], \quad \kappa = -1, \\ {}_{\mp} \phi_n(t, x) &= \check{C}_n e^{ip_x x} D_{\rho-1} [\pm(1+i)\xi], \quad \kappa = -1, \\ C_n &= (4\pi eE)^{-1/2} e^{-\pi\lambda/8}, \\ \check{C}_n &= (2\pi\lambda eE)^{-1/2} e^{-\pi\lambda/8}, \\ \rho &= \frac{i}{2}\lambda + \frac{\kappa+1}{2}, \\ \xi &= \frac{eEt - \kappa p_x}{\sqrt{eE}}, \\ \lambda &= \frac{\mathbf{p}_\perp^2 + m^2}{eE},\end{aligned}\quad (8)$$

уравнения (6) использованы для построения in-решений и out-решений. Будем говорить, что функции $\zeta \phi_n(t, x)$ соответствуют in-решениям $\{\zeta \psi_n(X)\}$, а функции $\zeta \phi_n(t, x)$ соответствуют out-решениям $\{\zeta \psi_n(X)\}$. В (8) функции $D_\nu(x)$ — функции параболического цилиндра. In- и out-решения ортонормированы относительно стандартного скалярного произведения,

$$\begin{aligned}(\zeta \psi_n, \zeta \psi_{n'}) &= (\zeta \psi_n, \zeta \psi_{n'}) = \delta(\mathbf{p}_\perp - \mathbf{p}'_\perp) \delta(p_x - p'_x) \delta_{\sigma, \sigma'}, \\ (\psi, \psi') &= \int \psi^\dagger(x) \psi'(x) d\mathbf{r}, \\ d\mathbf{r} &= dx^1 \dots dx^D.\end{aligned}$$

Удобнее работать с решениями уравнения (6), которые зависят от координат на световом конусе

$$x_\pm = t \pm x.$$

Данные решения параметризуются набором квантовых чисел $n_- = (p_-, \mathbf{p}_\perp, \sigma)$ и имеют следующий вид:

$$\begin{aligned}_{-\kappa} \phi_{n_-}(t, x) &= C_{n_-} \times \\ &\times \exp \left\{ -ie \frac{\kappa E}{2} \left(\frac{1}{2} x_-^2 - x_-^2 \right) - \frac{i}{2} p_- x_+ - \right. \\ &\left. - \frac{i}{2} [\kappa\lambda - 2i] \ln \left[\frac{\mp\pi_-}{\sqrt{eE}} \exp \left(-\frac{i\pi}{2}\theta(\kappa) \right) \right] \right\}, \\ C_{n_-} &= (4\pi eE)^{-1/2} \times \\ &\times \exp \left\{ \frac{i}{4} [(2\lambda \log 2 + \pi)\kappa + \pi(1+i\lambda)] \right\}, \\ \lambda &= \frac{\mathbf{p}_\perp^2 + m^2}{eE}, \quad \pi_- = p_- + e\kappa E x_-.\end{aligned}\quad (9)$$

Для удобства мы ввели следующее обозначение:

$${}_{-\kappa} \phi = \begin{cases} {}_{-} \phi, & \kappa = +1, \\ {}_{+} \phi, & \kappa = -1,\end{cases}$$

где ζ_ϕ и $\zeta\phi$ — различные наборы функций. Здесь p_- — импульс, принимающий непрерывные значения и являющийся собственным значением оператора $2i(\partial/\partial x_+)$. Знак $\pm\kappa$, отвечающий функциям ${}_{-\kappa}^{+\kappa}\phi_{n_-}(t, x)$, совпадает со знаком кинетического импульса π_- при $x_- \rightarrow \pm\infty$. Далее мы покажем, что состояния (9) необходимы для построения специальных асимптотик при $t \rightarrow \pm\infty$.

Наборы решений (9) и (8) связаны между собой интегральным преобразованием

$$\begin{aligned} {}_{-\kappa}^{+\kappa}\phi_n(t, x) &= \\ &= (2\pi eE)^{-1/2} \int_{-\infty}^{+\infty} M^*(p_x, p_-) {}_{-\kappa}^{+\kappa}\phi_{n_-}(t, x) dp_-, \quad (10) \\ M(p_x, p_-) &= \\ &= \exp \left\{ -\frac{i\kappa}{4eE} [(p_- + 2p_x)^2 - 2(p_x)^2] \right\}. \end{aligned}$$

Обратное преобразование имеет вид

$$\begin{aligned} {}_{-\kappa}^{+\kappa}\phi_{n_-}(t, x) &= \\ &= (2\pi eE)^{-1/2} \int_{-\infty}^{+\infty} M(p_x, p_-) {}_{-\kappa}^{+\kappa}\phi_n(t, x) dp_x. \quad (11) \end{aligned}$$

Заметим, что в случае постоянного однородного электрического поля преобразования (10) и (11) были рассмотрены в работе [21].

Как мы упоминали выше, функциям ${}^{+\kappa}\phi_n(t, x)$ соответствуют out-решения ${}^{+\kappa}\psi_n(X)$, тогда как функциям ${}_{-\kappa}\phi_n(t, x)$ соответствуют in-решения ${}_{-\kappa}\psi_n(X)$. Преобразования (11) позволяют нам построить in- и out-решения ${}_{-\kappa}\psi_{n_-}(X)$ и ${}^{+\kappa}\psi_{n_-}(X)$ с квантовыми числами n_- , соответственно:

$${}_{-\kappa}^{+\kappa}\psi_{n_-}(X) = (\gamma P + m) {}_{-\kappa}^{+\kappa}\phi_{n_-}(t, x) \varphi_{\mathbf{p}_\perp}(\mathbf{r}_\perp) v_\sigma.$$

На данном шаге мы введем два различных набора решений:

$\kappa = +1$:

$$\begin{cases} {}_+\phi_{n_-}(t, x) = \theta(+\pi_-) {}^+\phi_{n_-}(t, x) g(+ | +), \\ {}^-\phi_{n_-}(t, x) = \theta(-\pi_-) {}^-\phi_{n_-}(t, x) g(- | -), \end{cases} \quad (12)$$

$\kappa = -1$:

$$\begin{cases} {}^+\phi_{n_-}(t, x) = \theta(+\pi_-) {}^+\phi_{n_-}(t, x) g(+ | +), \\ {}^-\phi_{n_-}(t, x) = \theta(-\pi_-) {}^-\phi_{n_-}(t, x) g(- | -), \end{cases}$$

где $\theta(x)$ — ступенчатая функция Хевисайда. Мы можем проверить что выполняются следующие соотношения:

$$\begin{aligned} (2\pi eE)^{-1/2} \int_{-\infty}^{+\infty} M^*(p_x, p_-) {}_{-\kappa}^{+\kappa}\phi_{n_-}(t, x) dp_- &= \\ &= {}_{-\kappa}^{+\kappa}\phi_{n_-}(t, x). \end{aligned}$$

Функциям ${}_{-\kappa}^{+\kappa}\phi_{n_-}(t, x)$ соответствуют out-решения ${}_{-\kappa}\psi_{n_-}(X)$, тогда как функциям ${}_{+\kappa}\phi_{n_-}(t, x)$ соответствуют in-решения ${}_{+\kappa}\psi_{n_-}(X)$. Преобразования (11) позволяют нам построить in- и out-решения ${}_{+\kappa}\psi_{n_-}(X)$ и ${}_{-\kappa}\psi_{n_-}(X)$ с квантовыми числами n_- :

$${}_{-\kappa}\psi_{n_-}(X) = (\gamma P + m) {}_{-\kappa}^{+\kappa}\phi_{n_-}(t, x) \varphi_{\mathbf{p}_\perp}(\mathbf{r}_\perp) v_\sigma.$$

Таким образом, мы построили in- и out-решения для двух различных направлений электрического поля, $\kappa = \pm 1$. Причем имеют место преобразования данных решений друг через друга:

$$\begin{aligned} {}^\zeta\psi_{n_-}(X) &= {}_+\psi_{n_-}(X) g(+ | \zeta) + {}_-\psi_{n_-}(X) g(- | \zeta), \\ {}_\zeta\psi_{n_-}(X) &= {}^+\psi_{n_-}(X) g(+ | \zeta) + {}^-\psi_{n_-}(X) g(- | \zeta). \end{aligned}$$

Здесь g -коэффициенты определяются соотношениями

$$\begin{aligned} g(\zeta | \zeta) &= \frac{\sqrt{\pi\lambda} \exp(-\pi\lambda/4)}{\Gamma(1 - i\zeta\lambda/2)}, \\ g(-|+) &= -g(+|-) = \kappa \exp(-\pi\lambda/2). \end{aligned} \quad (13)$$

2.2. Представления собственного времени

Используя представления сингулярных функций в виде некоторых сумм решений уравнения Дирака, построенных в работах [3, 19], можно найти их представления по собственному времени. Таким образом, представления по собственному времени для сингулярных функций $S^p(X, X')$ и $S^{\bar{p}}(X, X')$ следуют из выражений

$$\begin{aligned} S^p(X, X') &= i \int_{-\infty}^{\infty} dp_- \times \\ &\times \int_{\mathbb{R}^{d-2}} d\mathbf{p}_\perp \sum_{\sigma=\pm 1} {}_{-\kappa}\psi_{n_-}(X) \times \\ &\times \left[g(+ | -) g(- | -)^{-1} \right]^\dagger {}^+\psi_{n_-}(X'), \quad (14) \end{aligned}$$

$$\begin{aligned} S^{\bar{p}}(X, X') &= -i \int_{-\infty}^{\infty} dp_- \times \\ &\times \int_{\mathbb{R}^{d-2}} d\mathbf{p}_\perp \sum_{\sigma=\pm 1} {}^+\psi_{n_-}(X) \times \\ &\times \left[g(+ | +)^{-1} g(+ | -) \right] {}^-\bar{\psi}_{n_-}(X'). \end{aligned}$$

Заметим, что сингулярные функции (14) в работе [19] были обозначены по-другому, а именно, как $-S^a(X, X')$ и $-S^p(X, X')$, соответственно. Учитывая (13) и (12), получим

$$\begin{aligned} S^p(X, X') &= \\ &= -\kappa \int_{-\infty}^{\infty} dp_- \theta(+\kappa\pi_-)_+ Y(X, X'; p_-), \\ S^{\bar{p}}(X, X') &= \\ &= +\kappa \int_{-\infty}^{\infty} dp_- \theta(-\kappa\pi_-)^+ {}^{+\kappa}Y(X, X'; p_-), \\ +Y(X, X'; p_-) &= \\ &= i \int_{\mathbb{R}^{d-2}} d\mathbf{p}_\perp \sum_\sigma {}_+\psi_{n_-}(X) {}^{+\kappa}\bar{\psi}_{n_-}(X'), \\ {}^{+\kappa}Y(X, X'; p_-) &= \\ &= i \int_{\mathbb{R}^{d-2}} d\mathbf{p}_\perp \sum_\sigma {}^{+\kappa}\psi_{n_-}(X) {}^{+\kappa}\bar{\psi}_{n_-}(X'). \end{aligned} \quad (15)$$

В соответствии с работой [19], причинный пропагатор и перестановочная функция могут быть представлены в виде

$$\begin{aligned} S^c(X, X') &= (\gamma P + m) \Delta^c(X, X'), \\ \Delta^c(X, X') &= \int_{\Gamma_c} f(X, X'; s) ds, \end{aligned} \quad (16)$$

$$\begin{aligned} S(X, X') &= (\gamma P + m) \Delta(X, X'), \\ \Delta(X, X') &= \operatorname{sgn}(t - t') \int_{\Gamma} f(X, X'; s) ds, \end{aligned} \quad (17)$$

где

$$\operatorname{sgn}(t - t') = \theta(t - t') - \theta(t' - t),$$

и функция

$$\begin{aligned} f(X, X'; s) &= \exp(-e\kappa E \gamma^0 \gamma^1 s) f^{(0)}(X, X'; s), \\ f^{(0)}(X, X'; s) &= -\left(\frac{-i}{4\pi}\right)^{d/2} \times \\ &\quad \times \frac{eE}{s^{(d-2)/2} \sinh(eEs)} \times \\ &\quad \times \exp\left[-ism^2 + ie\Lambda + \frac{i}{4s} |\mathbf{r}_\perp - \mathbf{r}'_\perp|^2 - \right. \\ &\quad \left. - \frac{i}{4} eE \coth(eEs) (y_0^2 - y_1^2)\right] \end{aligned} \quad (18)$$

представляет собой ядро Фока–Швингера [2, 22]. Здесь и далее мы вводим четырехвектор

$$y_\mu = X_\mu - X'_\mu, \quad y_0 = t - t', \quad y_1 = x' - x.$$

Функция $f(X, X'; s)$ удовлетворяет следующему дифференциальному уравнению с начальным условием:

$$\begin{aligned} -i \frac{d}{ds} f(X, X'; s) &= (P^2 - m^2 + ieE\gamma^0\gamma^1) f(X, X'; s), \\ \lim_{s \rightarrow \pm 0} f(X, X'; s) &= \pm i \delta(X - X'). \end{aligned}$$

Заметим что только член Λ в (18) является калибровочно-зависимой величиной, которая может быть представлена в виде интеграла вдоль кривой, проходящей через точки X и X' ,

$$\Lambda = - \int_{X'}^X A_\mu(\tilde{X}) d\tilde{X}^\mu. \quad (19)$$

В рассматриваемой калибровке электромагнитный потенциал $A_\mu(X)$ задается формулой (4), так что мы имеем

$$\Lambda = \kappa E y_1(t + t')/2.$$

Контуры интегрирования показаны на рис. 1 и рис. 2. Контуры Γ_c и Γ_1 обходят снизу все особые точки на вещественной оси, кроме начала координат. Функция $f^{(0)}(X, X'; s)$ имеет две особые точки $s_0 = 0$ и $eEs_1 = -i\pi$ на комплексной плоскости между контурами $\Gamma_c - \Gamma_1$ и $\Gamma_p - \Gamma_3$.

Контур Γ расположен в нижней части комплексной плоскости s в достаточно малой окрестности точки $s = 0$, а также соединяет точки $s = +0$ и $s = -i\pi$. Заметим, что интеграл по контуру Γ в (17) может быть представлен как интеграл по контуру $\Gamma_c - \Gamma_2 - \Gamma_1$. Так как ядро $f(X, X'; s)$ не имеет других особенностей в достаточно малой окрестности точки $s = 0$, то замыкание контура интегрирования $\Gamma_c - \Gamma_2 - \Gamma_1$ при $\operatorname{Re} s \rightarrow \pm\infty$, дает контур интегрирования Γ .

Заметим что представление (16) имеет форму представления Швингера [2]. Представление (17) обладает универсальной структурой присущей представлению собственного времени для перестановочной функции, см. [18]. Отсюда следует, что интеграл (17) удовлетворяет уравнению Дирака и начальному условию

$$S(X, X')|_{t=t'} = i\gamma^0 \delta(\mathbf{r} - \mathbf{r}').$$

В свою очередь, это показывает полноту двух наборов $\{\pm\psi_{n_-}(x)\}$ и $\{\pm\bar{\psi}_{n_-}(x)\}$ на гиперповерхности $t = \text{const}$.

Следуя процедуре, указанной в работе [19], и учитывая что

$$\mathbf{E}\mathbf{y} = \kappa E y^1,$$

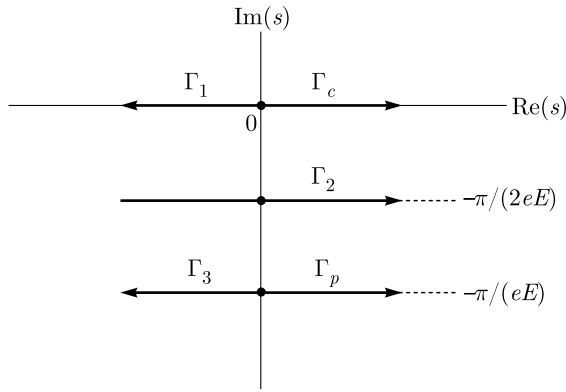
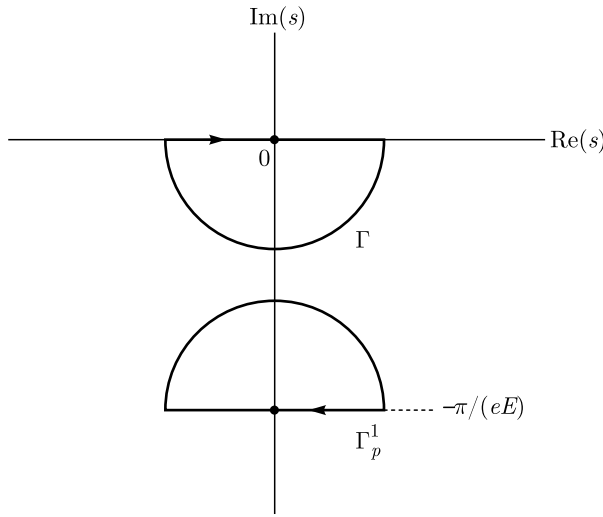
Рис. 1. Контуры интегрирования $\Gamma_1, \Gamma_2, \Gamma_3, \Gamma_c, \Gamma_p$ 

Рис. 2. Контуры интегрирования

мы можем представить сингулярные функции (15) в виде интегралов по собственному времени:

$$\begin{aligned} S^p(X, X') &= (\gamma P + m) \Delta^p(X, X'), \\ S^{\bar{p}}(X, X') &= (\gamma P + m) \Delta^{\bar{p}}(X, X'), \\ -\Delta^p(X, X') &= \int_{\Gamma_p} f(X, X'; s) ds + \end{aligned} \quad (20)$$

$$\begin{aligned} &+ \theta(\mathbf{E}\mathbf{y}) \int_{\Gamma_p^1} f(X, X'; s) ds, \\ -\Delta^{\bar{p}}(X, X') &= \int_{\Gamma_p} f(X, X'; s) ds + \\ &+ \theta(-\mathbf{E}\mathbf{y}) \int_{\Gamma_p^1} f(X, X'; s) ds. \end{aligned}$$

Контур интегрирования Γ_p^1 (радиус которого стремится к нулю) соединяет точки

$$s = e^{-i\pi} 0 - i\pi / (eE)$$

и

$$s = +0 - i\pi / (eE).$$

Заметим, что интеграл по контуру Γ_p^1 в (20) сводится к интегралу по контуру $\Gamma_2 + \Gamma_3 - \Gamma_p$, так как, замыкая контур интегрирования $\Gamma_2 + \Gamma_3 - \Gamma_p$ при $\text{Re } s \rightarrow \pm\infty$, мы можем преобразовать его в контур Γ_p^1 .

Используя (20), получаем представление по собственному времени для сингулярных функций $S_{\text{in/out}}^c(X, X')$:

$$S_{\text{in/out}}^c(X, X') = S^{p/\bar{p}}(X, X') + S^c(X, X'). \quad (21)$$

Представления (16), (17) и (20) могут быть записаны в ковариантной форме при помощи тензора электромагнитного поля $F_{\mu\nu}$, см. работы [18, 19]. Например, для $d = 4$ получим

$$\begin{aligned} f(X, X'; s) &= \\ &= \exp\left(-\frac{e}{4}[\gamma^\mu, \gamma^\nu]F_{\mu\nu}s\right) f^{(0)}(X, X'; s), \\ f^{(0)}(X, X'; s) &= \frac{e^2 EB \exp(-ie\Lambda')}{(4\pi)^2 \sinh(eEs) \sin(eBs)} \times \\ &\times \exp\left[-im^2 s - i\frac{1}{4}yqF \coth(qFs)y\right], \end{aligned} \quad (22)$$

$$\Lambda' = - \int_{X'}^X \left(A_\mu^E(\tilde{X}) + A_\mu^B(\tilde{X}) \right) d\tilde{X}^\mu,$$

где E и B — электрические и магнитные поля в $F_{\mu\nu}$, $A_\mu^E + A_\mu^B$ — потенциалы электрических (E) и магнитных (B) компонент тензора $F_{\mu\nu}$, соответственно. Интеграл в (22) берется вдоль кривой соединяющей точки X и X' .

Как следует из (18) и (20), для функций $S^{p,\bar{p}}(X, X')$ (а также для $S_{\text{in/out}}^c(X, X')$), замена $E_x = E \rightarrow E_x = -E$ эквивалентна замене

$$x \rightarrow -x, \quad x' \rightarrow -x', \quad \gamma^1 \rightarrow -\gamma^1.$$

Причем проекция

$$\mathbf{E}\mathbf{y}/E = (E_x/E)y^1$$

вектора смещения

$$\mathbf{y} = (y^2, \dots, y^D)$$

на направление поля и функция $f(X, X'; s)$ не меняются. Это означает, что средний ток созданных

частиц остается направленным вдоль электрического поля.

Заметим, что контуры интегрирования в представлениях собственного времени для причинного пропагатора и перестановочной функции нечувствительны к направлению электрического поля. Однако контуры интегрирования в представлениях собственного времени для сингулярных функций $S^{p,\bar{p}}(X, X')$ зависят от проекции $\mathbf{E}u$. Это естественно, поскольку именно эти сингулярные функции определяют влияние внешнего электрического поля на электрические токи создаваемых частиц. Такое наблюдение невозможно было сделать из представлений, полученных в работах [18, 19] для конкретного выбора системы координат.

3. СИНГУЛЯРНЫЕ ФУНКЦИИ В КЭД В L-ПОСТОЯННОМ ЭЛЕКТРИЧЕСКОМ ПОЛЕ

3.1. In- и out-решения

В этом разделе мы построим спинорные сингулярные функции в КЭД в L -постоянном электрическом поле. Данное поле имеет только одну ненулевую компоненту E_x вдоль оси x ,

$$E_x(x) = \begin{cases} 0, & x \in (-\infty, -L/2] \cup [L/2, \infty), \\ E, & x \in S_{\text{int}} = (-L/2, L/2), \end{cases} \quad L > 0.$$

Будем предполагать, что соответствующая потенциальная ступенька имеет достаточно большую высоту, $eEL \gg 2m$ (такая ступенька называется критической). В этом случае поле $E_x(x)$ и ведущие вклады в вакуумные средние можно рассматривать как макроскопические физические величины. В этом смысле L -постоянное электрическое поле является слабо неоднородным, и характеристики вакуумной нестабильности имеют некоторые универсальные особенности, см. [15]. Эффект рождения пар связан с наличием зоны Клейна. Подчеркнем, что в пределе $L \rightarrow \infty$ L -постоянное электрическое поле является одной из возможных регуляризаций постоянного однородного электрического поля.

Некоторые характеристики вакуумной нестабильности, в частности, деформации спинорных сингулярных функций в КЭД в L -постоянном электрическом поле при больших L , могут быть приближенно вычислены в КЭД с постоянным однородным электрическим полем. Последняя задача важна сама по себе, и ее решение в рамках последовательной формулировки КЭД [4] дается ниже, см. также результаты, полученные в работе [5] для L -постоянного электрического поля.

Выберем электромагнитные потенциалы, описывающие постоянное однородное электрическое поле E , направленное вдоль оси x , следующим образом:

$$A_0(X) = -Ex, \quad A_k(X) = 0. \quad (23)$$

Рассмотрим полный набор стационарных решений уравнения Дирака в электромагнитном поле (23) вида

$$\begin{aligned} \psi_{n_0}(X) &= (\gamma P + m) \Phi_{n_0}(X), \\ \Phi_{n_0}(X) &= \varphi_{n_0}(t, x) \varphi_{\mathbf{p}_\perp}(\mathbf{r}_\perp) v_{\chi, \sigma}, \\ n_0 &= (p_0, \mathbf{p}_\perp, \sigma), \\ \varphi_{n_0}(t, x) &= (2\pi)^{-1/2} \exp(-ip_0 t) \varphi_{n_0}(x), \end{aligned} \quad (24)$$

где $\varphi_{\mathbf{p}_\perp}(\mathbf{r}_\perp)$ и $v_{\chi, \sigma}$ даны в (5). В силу причин, описанных выше в разд. 2, выберем $\chi = 1$. Скалярные функции $\varphi_{n_0}(x)$ удовлетворяют дифференциальному уравнению второго порядка

$$\begin{aligned} \left\{ \hat{p}_x^2 - iU'(x) - [p_0 - U(x)]^2 + \mathbf{p}_\perp^2 + m^2 \right\} \times \\ \times \varphi_{n_0}(x) = 0, \\ U(x) = -eA_0(x). \end{aligned} \quad (25)$$

Решения уравнения Дирака с хорошо определенными левыми и правыми асимптотиками обозначим как $\zeta\psi_{n_0}(X)$ и $\zeta'\psi_{n_0}(X)$,

$$\begin{aligned} \hat{p}_x \zeta\psi_{n_0}(X) &= p^L \zeta\psi_{n_0}(X), \quad x \rightarrow -\infty, \quad \zeta = \text{sgn}(p^L), \\ \hat{p}_x \zeta'\psi_{n_0}(X) &= p^R \zeta'\psi_{n_0}(X), \quad x \rightarrow +\infty, \quad \zeta = \text{sgn}(p^R). \end{aligned}$$

Решения $\zeta\psi_{n_0}(X)$ и $\zeta'\psi_{n_0}(X)$ описывают асимптотически частицы с определенными импульсами p^L при $x \rightarrow -\infty$ и p^R при $x \rightarrow +\infty$, соответственно. Мы видим, что решения $\zeta\psi_{n_0}(X)$ и $\zeta'\psi_{n_0}(X)$ имеют вид (24), при этом функции $\varphi_{n_0}(x)$ обозначены как $\zeta\varphi_{n_0}(x)$ и $\zeta'\varphi_{n_0}(x)$, соответственно. Они имеют следующие асимптотики:

$$\begin{aligned} \zeta\varphi_{n_0}(x) &= \zeta C \exp[ip^L x], \quad x \rightarrow -\infty, \\ \zeta'\varphi_{n_0}(x) &= \zeta' C \exp[ip^R x], \quad x \rightarrow +\infty. \end{aligned}$$

Здесь ζC и $\zeta' C$ — нормировочные множители.

Решения $\zeta\psi_{n_0}(X)$ и $\zeta'\psi_{n_0}(X)$ удовлетворяют следующим соотношениям ортогональности на гиперповерхности $x = \text{const}$:

$$\begin{aligned} (\zeta\psi_{n_0}, \zeta'\psi_{n'_0})_x &= \zeta \delta_{\zeta, \zeta'} \delta_{n_0, n'_0}, \\ (\zeta\psi_{n_0}, \zeta'\psi_{n'_0})_x &= -\zeta \delta_{\zeta, \zeta'} \delta_{n_0, n'_0}, \\ (\psi, \psi')_x &= \int \psi^\dagger(X) \gamma^0 \gamma^1 \psi'(X) dt d\mathbf{r}_\perp, \\ \delta_{n_0, n'_0} &= \delta_{\sigma, \sigma'} \delta(p_0 - p'_0) \delta(\mathbf{p}_\perp - \mathbf{p}'_\perp). \end{aligned} \quad (26)$$

Они выражаются друг через друга следующим образом:

$$\begin{aligned}\zeta \psi_{n_0}(X) &= \\ &= +\psi_{n_0}(X)\tilde{g}(|\zeta|) - -\psi_{n_0}(X)\tilde{g}(|\zeta|), \quad (27) \\ \zeta \psi_{n_0}(X) &= \\ &= -\psi_{n_0}(X)\tilde{g}(|\zeta|) - +\psi_{n_0}(X)\tilde{g}(|\zeta|),\end{aligned}$$

где коэффициенты разложения определяются из соотношений

$$\begin{aligned}\left(\zeta \psi_{n_0}, \zeta' \psi_{n'_0}(X) \right)_x &= \tilde{g}(\zeta|\zeta') \delta_{n_0, n'_0}, \\ \tilde{g}(\zeta'|\zeta) &= \tilde{g}(\zeta|\zeta')^*.\end{aligned}$$

Заметим, что коэффициенты \tilde{g} отличаются от коэффициентов g , которые имеют место в КЭД в t -степеньках, см. разд. 2. Коэффициенты \tilde{g} удовлетворяют следующим соотношениям:

$$\begin{aligned}|\tilde{g}(-|+)|^2 &= |\tilde{g}(+|-)|^2, \\ |\tilde{g}(+|+)|^2 &= |\tilde{g}(-|-)|^2, \\ \frac{\tilde{g}(+|-)}{\tilde{g}(-|-)} &= \frac{\tilde{g}(+|-)}{\tilde{g}(+|+)}, \quad (28) \\ |\tilde{g}(+|-)|^2 - |\tilde{g}(+|+)|^2 &= 1.\end{aligned}$$

Вернемся к решению уравнения (25), которое мы можем записать в виде

$$\left[\frac{d^2}{d\xi^2} + \xi^2 + i - \lambda \right] \varphi_{n_0}(x) = 0, \quad (29)$$

$$\begin{aligned}\xi &= \frac{eEx - p_0}{\sqrt{eE}}, \\ \lambda &= \frac{\mathbf{p}_\perp^2 + m^2}{eE}.\end{aligned}$$

Общее решение уравнения (29) полностью определяется подходящей парой линейно независимых функций параболического цилиндра. А именно, парой

$$D_\rho[(1-i)\xi], \quad D_{-1-\rho}[(1+i)\xi]$$

или парой

$$D_\rho[-(1-i)\xi], \quad D_{-1-\rho}[-(1+i)\xi],$$

где

$$\rho = -i\lambda/2 - 1.$$

Учитывая асимптотические разложения функций параболического цилиндра, мы можем классифицировать решения по знаку импульсов p^L и p^R . В

результате получим четыре набора решений уравнения (29):

$$\begin{aligned}+\varphi_{n_0}(x) &= \\ &= +CD_{-1-\rho}[-(1+i)\xi] \propto e^{-i\xi^2/2}, \quad \xi \rightarrow -\infty, \quad (30) \\ -\varphi_{n_0}(x) &= \\ &= -CD_\rho[-(1-i)\xi] \propto e^{i\xi^2/2}, \quad \xi \rightarrow -\infty;\end{aligned}$$

$$\begin{aligned}+\varphi_{n_0}(x) &= \\ &= +CD_\rho[(1-i)\xi] \propto e^{i\xi^2/2}, \quad \xi \rightarrow \infty, \\ -\varphi_{n_0}(x) &= \\ &= -CD_{-1-\rho}[(1+i)\xi] \propto e^{-i\xi^2/2}, \quad \xi \rightarrow \infty, \quad (31) \\ -\zeta C &= \zeta C = (eE)^{-1/2} e^{\pi\lambda/8} \times \\ &\times \left[\frac{\lambda}{2}(1+\zeta) + 1 - \zeta \right]^{-1/2}.\end{aligned}$$

Что позволяет нам построить соответствующие дирацковские спиноры, которые являются in- и out-решениями:

$$\begin{aligned}\text{in-solutions: } &- \psi_{n_0}(X), \quad - \psi_{n_0}(X), \\ \text{out-solutions: } &+ \psi_{n_0}(X), \quad + \psi_{n_0}(X).\end{aligned} \quad (32)$$

Коэффициенты \tilde{g} имеют вид

$$\tilde{g}(-|+) = \tilde{g}(+|-) = e^{\pi\lambda/2}. \quad (33)$$

Согласно общей теории [4], дифференциальные средние числа рожденных пар определяются соотношением

$$N_{n_0}^{\text{cr}} = |\tilde{g}(+|-)|^{-2} = e^{-\pi\lambda}.$$

Действуя тем же образом, как и в разд. 2 при вычислении спинорных сингулярных функций (1) и (2), построим полные наборы решений уравнения Дирака с корректно определенными левыми и правыми асимптотиками в терминах переменных светового конуса $x_\pm = t \pm x$. С этой целью мы рассмотрим спиноры $\tilde{\psi}_{n_-}(X)$, параметризованные квантовыми числами $n_- = (p_-, p_\perp, \sigma)$:

$$\begin{aligned}\tilde{\psi}_{n_-}(X) &= (\gamma P + m) \Phi_{n_-}(X), \\ \Phi_{n_-}(X) &= \varphi_{n_-}(t, x) \varphi_{\mathbf{p}_\perp}(\mathbf{r}_\perp) v_\sigma,\end{aligned} \quad (34)$$

где функции $\varphi_{n_-}(t, x)$ удовлетворяют уравнению

$$\begin{aligned}\left\{ \hat{p}_x^2 - iU'(x) - [\hat{p}_0 - U(x)]^2 + \mathbf{p}_\perp^2 + m^2 \right\} \times \\ \times \varphi_{n_-}(t, x) = 0.\end{aligned} \quad (35)$$

Построим нестационарные решения уравнения (35). Заметим, что данное уравнение допускает интегралы движения \hat{Y}_α , $\alpha = 0, 1, 2, 3$, в классе линейных дифференциальных операторов первого порядка:

$$\begin{aligned}\hat{Y}_0 &= ie, \quad \hat{Y}_1 = \partial_t, \quad \hat{Y}_2 = \partial_x + ieEt, \\ \hat{Y}_3 &= x\partial_t + t\partial_x + \frac{ieE}{2}(t^2 + x^2).\end{aligned}$$

Операторы \hat{Y}_α образуют четырехмерную алгебру Ли \mathcal{L} , заданную ненулевыми коммутационными соотношениями:

$$[\hat{Y}_1, \hat{Y}_2] = E\hat{Y}_0, \quad [\hat{Y}_1, \hat{Y}_3] = \hat{Y}_2, \quad [\hat{Y}_2, \hat{Y}_3] = \hat{Y}_1.$$

Уравнение (35) представляет собой уравнение на собственные функции оператора Казимира

$$\hat{K} = 2E\hat{Y}_0\hat{Y}_3 - \hat{Y}_1^2 + \hat{Y}_2^2,$$

а именно,

$$\hat{K}\varphi_{n_-}(t, x) = (\mathbf{p}_\perp^2 + m^2)\varphi_{n_-}(t, x), \quad [\hat{K}, \hat{Y}_a] = 0.$$

Для построения полных наборов решений такого рода уравнений эффективно применение метода некоммутативного интегрирования [23–25], основанного на алгебре симметрии уравнения Дирака. Сначала определим неприводимое λ -представление алгебры Ли в пространстве функций от переменной $p_- \in (-\infty, +\infty)$ при помощи операторов

$$\ell_a(p_-, \partial_{p_-}, j), \quad \alpha = 0, 1, 2, 3; \quad j \in (0, \infty),$$

получим

$$\begin{aligned}\ell_0(p_-, \partial_{p_-}, j) &= ie, \\ \ell_1(p_-, \partial_{p_-}, j) &= -eE\partial_{p_-} + \frac{i}{2}p_-, \\ \ell_2(p_-, \partial_{p_-}, j) &= eE\partial_{p_-} + \frac{i}{2}p_-, \\ \ell_3(p_-, \partial_{p_-}, j) &= -p_-\partial_{p_-} + ij - 1, \\ \ell_1^2(p_-, \partial_{p_-}, j) - \ell_2^2(p_-, \partial_{p_-}, j) - &2E\ell_0(p_-, \partial_{p_-}, j)\ell_3(p_-, \partial_{p_-}, j) = (2eE)j.\end{aligned}$$

Интегрируя систему уравнений

$$[\hat{Y}_a + \ell_a(p_-, \partial_{p_-}, j)]\varphi_{n_-}(t, x) = 0$$

вместе с уравнением (35), получим алгебраическое уравнение $j = -\lambda/2$ и два его полных набора решений $-\varphi_{n_-}$ и $+\varphi_{n_-}$. Данные решения параметризуются набором квантовых чисел n_- :

$$\begin{aligned}+\varphi_{n_-}(t, x) &= C' \exp \left[ie\frac{E}{2} \left(\frac{1}{2}x_-^2 - t^2 \right) - \right. \\ &\quad \left. - \frac{i}{2}(\lambda - 2i) \ln \frac{\pm i\pi_-}{\sqrt{eE}} - \frac{i}{2}p_-x_+ \right], \quad (36)\end{aligned}$$

$$\pi_- = p_- + eEx_-.$$

Квантовое число p_- является собственным значением оператора симметрии $i(\hat{Y}_1 + \hat{Y}_2)$:

$$i(\hat{Y}_1 + \hat{Y}_2) + \varphi_{n_-}(t, x) = p_- + \varphi_{n_-}(t, x).$$

В этом случае решения уравнения Дирака имеют вид (34) с функциями (36):

$$\begin{aligned}+\tilde{\psi}_{n_-}(X) &= (\gamma P + m) + \Phi_{n_-}(X), \\ +\Phi_{n_-}(X) &= +\varphi_{n_-}(t, x)\varphi_{\mathbf{p}_\perp}(\mathbf{r}_\perp)v_\sigma,\end{aligned}\quad (37)$$

Построим прямое и обратное интегральные преобразования, которые связывают функции (36) с функциями (30) и (31). Посмотрим на решения уравнения (25) вида

$$\begin{aligned}-\varphi_{n_0}(t, x) &= (2\pi eE)^{-1/2} \times \\ &\quad \times \int_{-\infty}^{+\infty} \tilde{M}^*(p_0, p_-) + \varphi_{n_-}(t, x) dp_-, \quad (38)\end{aligned}$$

которые удовлетворяют уравнению

$$\hat{p}_0 + \varphi_{n_0}(t, x) = p_0 + \varphi_{n_0}(t, x). \quad (39)$$

Подставляя (38) в (39) с учетом условия

$$\left[\partial_t - eE\partial_{p_-} + \frac{i}{2}p_- \right] \varphi_{n_-}(t, x) = 0,$$

видим, что функция $\tilde{M}(p_0, p_-)$ определяется как решение уравнения

$$-i \left(-eE\partial_{p_-} + \frac{i}{2}p_- \right) \tilde{M}(p_0, p_-) = p_0 \tilde{M}(p_0, p_-).$$

Выберем частное решение

$$\tilde{M}(p_0, p_-) = \exp \frac{i}{4eE} (p_-^2 - 4p_-p_0 + 2p_0^2),$$

которое удовлетворяет условию ортогональности

$$\begin{aligned}\int_{-\infty}^{+\infty} \tilde{M}^*(p_0, p_-) \tilde{M}(p_0, p'_-) dp_0 &= \\ &= 2\pi eE \delta(p_- - p'_-). \quad (40)\end{aligned}$$

Запишем обратное преобразование

$$\begin{aligned}+\varphi_{n_-}(t, x) &= (2\pi eE)^{-1/2} \times \\ &\quad \times \int_{-\infty}^{+\infty} \tilde{M}(p_0, p_-) + \varphi_{n_0}(t, x) dp_0. \quad (41)\end{aligned}$$

Для совместности преобразований (38) и (41), в выражениях (30), (31) положим

$$C' = 2^{i\lambda/4} e^{\pi\lambda/4} (4\pi eE)^{-1/2}.$$

Обратное преобразование (41) показывает, что функции ${}^+\varphi_{n_-}(t, x)$ выражаются через функции ${}^+\varphi_{n_0}(t, x)$ с хорошо определенными левыми и правыми асимптотиками.

Из преобразований (38) и (41) следуют соответствующие соотношения между решениями уравнения Дирака:

$$\begin{aligned} {}^-\psi_{n_0}(X) &= (2\pi eE)^{-1/2} \times \\ &\quad \times \int_{-\infty}^{+\infty} \tilde{M}^*(p_0, p_-) {}^+\tilde{\psi}_{n_-}(X) dp_-, \\ {}^-\tilde{\psi}_{n_-}(X) &= (2\pi eE)^{-1/2} \times \\ &\quad \times \int_{-\infty}^{+\infty} \tilde{M}(p_0, p_-) {}^-\psi_{n_0}(X) dp_0, \end{aligned} \quad (42)$$

где ${}^-\psi_{n_0}(X)$ даны в (24) с функциями $\varphi_{n_0}(x)$, обозначенными как ${}^+\varphi_{n_0}(x)$, функции ${}^-\tilde{\psi}_{n_-}(X)$ даются выражением (37). Из второго преобразования в (42) и соотношения (40) следует, что спиноры ${}^-\tilde{\psi}_{n_-}(X)$ удовлетворяют условию ортогональности на гиперповерхности $x = \text{const}$:

$$\left({}^-\tilde{\psi}_{n_-}, {}^-\tilde{\psi}_{n'_-} \right)_x = -\delta_{n_-, n'_-}.$$

В соответствии с (32), функции ${}^-\tilde{\psi}_{n_-}(X)$ описывают out-решения, а функции ${}^+\tilde{\psi}_{n_-}(X)$ — in-решения. Коэффициенты $\tilde{g}(-|+)$ даны в (33) и не зависят от p_0 и p_- , а также связывают между собой наборы решений ${}^-\tilde{\psi}_{n_-}$.

При помощи (37) мы построили два полных и ортогональных набора решений $\left\{ {}^\pm\tilde{\psi}_{n_-}(x) \right\}$ и $\left\{ {}^\pm\tilde{\psi}_{n_0}(x) \right\}$ уравнения Дирака; дополнительные наборы решений выберем следующим образом:

$$\begin{aligned} {}^-\tilde{\psi}_{n_-}(X) &= -\theta(\pi_-) {}^-\tilde{\psi}_{n_-}(X) \tilde{g}(-|^-), \\ {}^+\tilde{\psi}_{n_-}(X) &= -\theta(-\pi_-) {}^+\tilde{\psi}_{n_-}(X) \tilde{g}(+|_+). \end{aligned} \quad (43)$$

Они могут быть представлены в виде

$$\begin{aligned} {}^-\tilde{\psi}_{n_-}(X) &= (\gamma P + m) {}^-\Phi_{n_-}(X), \\ {}^-\Phi_{n_-}(X) &= {}^-\varphi_{n_-}(t, x) \varphi_{\mathbf{p}_\perp}(\mathbf{r}_\perp) v_{\chi, \sigma}, \end{aligned} \quad (44)$$

$${}^-\varphi_{n_-}(t, x) = (2\pi)^{-1/2} \exp(-ip_0 t) {}^-\varphi_{n_-}(x),$$

где

$$\begin{aligned} {}^-\varphi_{n_-}(t, x) &= -\theta(\pi_-) {}^-\varphi_{n_-}(t, x) \tilde{g}(-|^-), \\ {}^+\varphi_{n_-}(t, x) &= -\theta(-\pi_-) {}^+\varphi_{n_-}(t, x) \tilde{g}(+|_+). \end{aligned} \quad (45)$$

Применяя интегральное преобразование типа (38) к решениям (45), получим

$$\begin{aligned} (2\pi eE)^{-1/2} \int_{-\infty}^{+\infty} \tilde{M}^*(p_0, p_-) {}^-\varphi_{n_-}(t, x) dp_- &= \\ &= {}^-\varphi_{n_0}(t, x), \end{aligned}$$

$$\begin{aligned} (2\pi eE)^{-1/2} \int_{-\infty}^{+\infty} \tilde{M}^*(p_0, p_-) {}^+\varphi_{n_-}(t, x) dp_- &= \\ &= {}^+\varphi_{n_0}(t, x). \end{aligned}$$

Тогда

$$\begin{aligned} {}^-\psi_{n_0}(X) &= \\ &= (2\pi eE)^{-1/2} \int_{-\infty}^{+\infty} \tilde{M}^*(p_0, p_-) {}^-\tilde{\psi}_{n_-}(X) dp_-, \\ {}^-\tilde{\psi}_{n_-}(X) &= \\ &= (2\pi eE)^{-1/2} \int_{-\infty}^{+\infty} \tilde{M}(p_0, p_-) {}^-\psi_{n_0}(X) dp_0, \end{aligned} \quad (46)$$

где ${}^-\psi_{n_0}(X)$ даны в (24), а функции $\varphi_{n_0}(x)$ обозначены как ${}^+\varphi_{n_0}(x)$. Функции ${}^-\tilde{\psi}_{n_-}(X)$ даны в (44).

Используя второе преобразование в (46) и соотношения (26), мы видим что выполняются соотношения ортогональности:

$$\begin{aligned} \left({}^-\tilde{\psi}_{n_-}, {}^-\tilde{\psi}_{n'_-} \right)_x &= 0, \\ \left({}^-\tilde{\psi}_{n_-}, {}^+\tilde{\psi}_{n'_-} \right)_x &= 0. \end{aligned}$$

Очевидно, что

$$\begin{aligned} {}^-\tilde{\psi}_{n_-}(X) &= 0, \quad \pi_- > 0, \\ {}^-\tilde{\psi}_{n_-}(X) &= 0, \quad \pi_- < 0. \end{aligned}$$

Используя (42) и (46) и учитывая, что коэффициенты \tilde{g}' не зависят от p_0 , из (27), находим

$$\begin{aligned} {}^+\tilde{\psi}_{n_-}(X) &= \tilde{g}(+|^-)^{-1} \times \\ &\quad \times \left[{}^-\tilde{\psi}_{n_-}(X) \tilde{g}(-|^-) + {}^-\tilde{\psi}_{n_-}(X) \right] = 0, \quad \pi_- > 0, \\ {}^-\tilde{\psi}_{n_-}(X) &= \tilde{g}(-|_+)^{-1} \times \\ &\quad \times \left[{}^+\tilde{\psi}_{n_-}(X) \tilde{g}(+|_+) + {}^+\tilde{\psi}_{n_-}(X) \right] = 0, \quad \pi_- < 0. \end{aligned}$$

Таким образом, соотношения (43) справедливы для всех $\tilde{g}(-|^-)$ и $\tilde{g}(+|_+)$, удовлетворяющих условиям (28).

Заметим, что подобные наборы решений уравнения Клейна–Гордона для скалярных частиц, находящихся между двумя обкладками конденсатора, получены в работе [26]. Эти решения связаны между собой при помощи интегральных преобразований, аналогичных преобразованиям (42) и (46).

3.2. Представления собственного времени

Спинорные сингулярные функции в КЭД в x -ступеньках определяются уравнениями (1), (2) и (3). В случае L -постоянного электрического поля их можно найти как суммы по построенным выше решениям, см. [4]. Отметим, что для $L \rightarrow \infty$ достаточно рассматривать суммы только в зоне Клейна. В этой зоне решения (30) и (31) удовлетворяют следующим соотношениям ортонормированности на гиперплоскости $t = \text{const}$:

$$\begin{aligned} (\zeta\psi_{n_0}, \zeta\psi_{n'_0}) &= (\zeta\psi_{n_0}, \zeta\psi_{n'_0}) = \\ &= \delta_{\sigma,\sigma'}\delta(p_0 - p'_0)\delta(\mathbf{p}_\perp - \mathbf{p}'_\perp)\mathcal{M}_{n_0}, \\ (\zeta\psi_{n_0}, \zeta\psi_{n'_0}) &= 0, \\ (\psi, \psi') &= \int \psi^\dagger(X)\psi'(X) d\mathbf{r}, \\ \mathcal{M}_{n_0} &= |\tilde{g}(+|^-)|^2 = e^{\pi\lambda}. \end{aligned}$$

Тогда сингулярные функции можно представить в виде

$$\begin{aligned} S^c(X, X') &= \\ &= \theta(t - t')S^-(X, X') - \theta(t' - t)S^+(X, X'), \\ S^-(X, X') &= i \sum_{n_0} \mathcal{M}_{n_0}^{-1} \times \\ &\times {}^+\psi_{n_0}(X)\tilde{g}(+|_-)\tilde{g}(-|_-)^{-1} {}^-\bar{\psi}_{n_0}(X'), \quad (47) \\ S^+(X, X') &= i \sum_{n_0} \mathcal{M}_{n_0}^{-1} \times \\ &\times {}_-\psi_{n_0}(X)\tilde{g}(-|+)\tilde{g}(+|+)^{-1} {}^+\bar{\psi}_{n_0}(X'); \\ S(X, X') &= S^-(X, X') + S^+(X, X'); \quad (48) \end{aligned}$$

$$\begin{aligned} S_{\text{in/out}}^c(X, X') &= \\ &= \theta(t - t')S_{\text{in/out}}^-(X, X') - \theta(t' - t)S_{\text{in/out}}^+(X, X'), \\ S_{\text{in/out}}^-(X, X') &= \\ &= i \sum_{n_0} \mathcal{M}_{n_0}^{-1} {}^\mp\psi_{n_0}(X) {}^\mp\bar{\psi}_{n_0}(X'), \quad (49) \\ S_{\text{in/out}}^+(X, X') &= i \sum_{n_0} \mathcal{M}_{n_0}^{-1} {}_\mp\psi_{n_0}(X) {}_\mp\bar{\psi}_{n_0}(X'), \\ \bar{\psi} &= \psi^\dagger\gamma^0. \end{aligned}$$

Используя соотношения (27), представим сингулярные функции $S^p(X, X')$ и $S^{\bar{p}}(X, X')$ в (2) следующим образом:

$$\begin{aligned} S^p(X, X') &= \\ &= i \sum_{n_0} \mathcal{M}_{n_0}^{-1} {}_-\psi_{n_0}(X)\tilde{g}(-|_-)^{-1} {}^-\bar{\psi}_{n_0}(X'), \\ S^{\bar{p}}(X, X') &= \\ &= -i \sum_{n_0} \mathcal{M}_{n_0}^{-1} {}^+\psi_{n_0}(X)\tilde{g}(+|+)^{-1} {}^+\bar{\psi}_{n_0}(X'). \end{aligned} \quad (50)$$

Подчеркнем, что если вакуум стабилен, то обе функции обращаются в нуль.

Используя (42), (46) и (43), получим следующие интегральные представления:

$$\begin{aligned} S^-(X, X') &= -i \sum_{\sigma} \int dp_- d\mathbf{p}_\perp \times \\ &\times \theta(+\pi'_-) e^{-\pi\lambda/2} {}^+\tilde{\psi}_{n_-}(X) {}_-\bar{\tilde{\psi}}_{n_-}(X'), \\ S^+(X, X') &= -i \sum_{\sigma} \int dp_- d\mathbf{p}_\perp \times \\ &\times \theta(-\pi'_-) e^{-\pi\lambda/2} {}_-\tilde{\psi}_{n_-}(X) {}^+\bar{\tilde{\psi}}_{n_-}(X'), \end{aligned} \quad (51)$$

$$\begin{aligned} S^p(X, X') &= -i \sum_{\sigma} \int dp_- d\mathbf{p}_\perp \times \\ &\times \theta(+\pi'_-) e^{-\pi\lambda} {}_-\tilde{\psi}_{n_-}(X) {}_-\bar{\tilde{\psi}}_{n_-}(X'), \\ S^{\bar{p}}(X, X') &= i \sum_{\sigma} \int dp_- d\mathbf{p}_\perp \times \\ &\times \theta(-\pi'_-) e^{-\pi\lambda} {}^+\tilde{\psi}_{n_-}(X) {}^+\bar{\tilde{\psi}}_{n_-}(X'). \end{aligned} \quad (52)$$

Учитывая (37) и (43) и выполнив суммирование по квантовым числам σ ,

$$\sum_{\sigma} v_{1,\sigma} v_{1,\sigma}^\dagger = \sum_{\sigma} (v_{1,\sigma} \otimes v_{1,\sigma}^\dagger) = \Xi_+ = \frac{1}{2} (1 + \gamma^0 \gamma^1),$$

перепишем представление (51) следующим образом:

$$\begin{aligned}
S^\pm(X, X') &= \int \theta(\mp\pi'_-) Y^{(\pm)}(X, X'; p_-) dp_-, \\
Y^{(\pm)}(X, X'; p_-) &= \frac{1}{4\pi} \left[\gamma^0 + \frac{(m - \gamma_\perp \hat{\mathbf{p}}_\perp)}{\pi'_-} \right] \Xi_+ \times \\
&\quad \times \left[\gamma^0 + \frac{(m + \gamma_\perp \hat{\mathbf{p}}'_\perp)}{\pi'_-} \right] \gamma^0 {}_+ F, \\
{}_+ F &= \frac{i}{(2\pi)^{d-2}} I_1 \exp \left\{ \frac{i}{2} \left[eE \left(\frac{x_-^2 - x'^2}{2} - t^2 + t'^2 \right) - \right. \right. \\
&\quad \left. \left. - p_-(x_+ - x'_+) \right] - im^2 {}_+ a \right\}, \\
I_1 &= \int \exp \left[-i {}_+ a p_\perp^2 + i(\mathbf{r}_\perp - \mathbf{r}'_\perp) \mathbf{p}_\perp \right] d\mathbf{p}_\perp, \\
{}_+ a &= \frac{1}{2eE} \left\{ \ln(\mp i\tilde{\pi}_-) - [\ln(\pm i\tilde{\pi}'_-)]^* \right\}, \\
\tilde{\pi}_- &= \pi_-/\sqrt{eE}, \quad \tilde{\pi}'_- = \pi'_-/\sqrt{eE}.
\end{aligned}$$

Для комплексной переменной ${}_+ a$ выберем главную ветвь логарифма:

$$\begin{aligned}
\operatorname{Re}({}_+ a) &= \frac{1}{2eE} \ln \left| \frac{\pi_-}{\pi'_-} \right|, \\
\operatorname{Im}({}_+ a) &= \mp \frac{\pi}{2eE} \operatorname{sgn}(\pi_-) \theta(-\pi_- \pi'_-).
\end{aligned}$$

Вычисляя гауссовый интеграл I_1 , получим

$$\begin{aligned}
{}_+ F(X, X'; p_-) &= i \left(\frac{-i}{4\pi {}_+ a} \right)^{(d-2)/2} \times \\
&\quad \times \exp \left\{ -i \frac{\pi_- + \pi'_-}{4} y_+ + \right. \\
&\quad \left. + ie\Lambda - i {}_+ a m^2 + \frac{i}{4 {}_+ a} |\mathbf{r}_\perp - \mathbf{r}'_\perp|^2 \right\}, \tag{53}
\end{aligned}$$

$$\Lambda = -Ey_0(x+x')/2, \quad y_\pm = x_\pm - x'_\pm.$$

Учитывая данный результат, можно записать функции $S^\pm(X, X')$ в виде

$$\begin{aligned}
S^\pm(X, X') &= \mp(\gamma P + m) \Delta^\pm(X, X'), \\
\Delta^\pm(X, X') &= \int dp_- \theta(\mp\pi'_-) {}_+ f(X, X'; p_-), \\
{}_+ f(X, X'; p_-) &= \exp(-eE\gamma^0\gamma^1 {}_+ a) {}_+ f^{(0)}, \tag{54} \\
{}_+ f^{(0)} &= - \left(\frac{-i}{4\pi} \right)^{d/2} ({}_+ a)^{(2-d)/2} \times \\
&\quad \times \exp \left\{ -i {}_+ a m^2 + \frac{i}{4 {}_+ a} |\mathbf{r}_\perp - \mathbf{r}'_\perp|^2 - i \frac{\pi_- + \pi'_-}{4} y_+ + \right. \\
&\quad \left. + ie\Lambda - \frac{1}{2} \left\{ \ln(\mp i\pi_-) + [\ln(\mp i\pi'_-)]^* \right\} \right\}.
\end{aligned}$$

Полагая $y_- \neq 0$, выполним замену переменной $s = {}_- a$ в интеграле $\Delta^+(X, X')$ и замену переменной $s = {}_+ a$ в интеграле $\Delta^-(X, X')$:

$$\begin{aligned}
\Delta^+(X, X') &= \int_{-\infty}^{+\infty} \theta(-\pi'_-) {}_- f(X, X'; p_-) dp_- = \\
&= \int_{\Gamma_c} \tilde{f}(X, X'; s) \frac{eE ds}{\sinh(eEs)} - \\
&\quad - \theta(+y_-) \int_{\Gamma_c - \Gamma_2 - \Gamma_1}^{+\infty} \tilde{f}(X, X'; s) \frac{eE ds}{\sinh(eEs)}, \\
\Delta^-(X, X') &= \int_{-\infty}^{+\infty} \theta(+\pi'_-) {}_+ f(X, X'; p_-) dp_- = \\
&= \int_{\Gamma_c} \tilde{f}(X, X'; s) \frac{eE ds}{\sinh(eEs)} - \\
&\quad - \theta(-y_-) \int_{\Gamma_c - \Gamma_2 - \Gamma_1}^{+\infty} \tilde{f}(X, X'; s) \frac{eE ds}{\sinh(eEs)},
\end{aligned}$$

$$\begin{aligned}
\tilde{f}(X, X'; s) &= \\
&= - \left(\frac{-i}{4\pi s} \right)^{d/2} \frac{1}{s} \exp \left[-eE\gamma^0\gamma^1 s + ie\Lambda - ism^2 + \right. \\
&\quad \left. + \frac{i}{4s} |\mathbf{r}_\perp - \mathbf{r}'_\perp|^2 - \frac{i}{4} eE \coth(eEs) (y_0^2 - y_1^2) \right].
\end{aligned}$$

Все контуры интегрирования показаны на рис. 1. Замыкая контур интегрирования $\Gamma_c - \Gamma_2 - \Gamma_1$ на $\operatorname{Re}s \rightarrow \pm\infty$, преобразуем его в контур Γ (см. рис. 2).

В итоге получим

$$\begin{aligned}
S^\pm(X, X') &= (\gamma P + m) \Delta^\pm(X, X'), \\
\mp \Delta^\pm(X, X') &= \int_{\Gamma_c} f(X, X'; s) ds - \tag{55} \\
&\quad - \theta(\pm y_-) \int_{\Gamma} f(X, X'; s) ds.
\end{aligned}$$

Ядро Фока–Швингера $f(X, X'; s)$ дано выражением (18) с калибровочно-зависимым членом Λ в (53). Заметим, что этот член может быть представлен как интеграл по кривой (19), где в нашем случае потенциал $A_\mu(X)$ определяется выражением (23).

В работе [18], было показано что

$$\int_{\Gamma} F(X, X'; s) ds = 0, \quad y_\mu y^\mu < 0,$$

откуда следует, что интегралы $\Delta^\pm(X, X')$ в (55) могут быть записаны следующим образом:

$$\mp \Delta^\pm(X, X') = \int_{\Gamma_c} f(X, X'; s) ds - \\ - \theta(\pm y_0) \int_{\Gamma} f(X, X'; s) ds. \quad (56)$$

Таким образом, мы вывели интегральное представление Швингера (16) для причинного пропагатора (47) и продемонстрировали, что перестановочная функция (48) имеет универсальную структуру (17):

$$S^c(X, X') = (\gamma P + m) \Delta^c(X, X'), \\ \Delta^c(X, X') = \int_{\Gamma_c} f(X, X'; s) ds, \\ S(X, X') = (\gamma P + m) \Delta(X, X'), \\ \Delta(X, X') = \operatorname{sgn}(t - t') \int_{\Gamma} f(X, X'; s) ds.$$

Фактически, приведенный выше результат представляет собой косвенное доказательство полноты построенных выше наборов решений на гиперплоскости $t\text{-const}$. Представление (56) верно для произвольных X и X' , несмотря на то, что замена переменных в интеграле (54) проводилась при условии $y_- \neq 0$. Все это подтверждает, что представление (56) эквивалентно представлению (47).

Действуя аналогично, представим сингулярные функции $S^p(X, X')$ и $S^{\bar{p}}(X, X')$ в (52) следующим образом:

$$S^p(X, X') = \int dp_- \theta(+\pi'_-) \tilde{Y}^{(-)}(X, X'; p_-), \\ S^{\bar{p}}(X, X') = \int dp_- \theta(-\pi'_-) \tilde{Y}^{(+)}(X, X'; p_-), \\ \tilde{Y}^{(\pm)}(X, X'; p_-) = \frac{1}{4\pi} \left[\gamma^0 + \frac{(m - \gamma_\perp \hat{\mathbf{p}}_\perp)}{\pi_-} \right] \Xi_+ \times \\ \times \left[\gamma^0 + \frac{(m + \gamma_\perp \hat{\mathbf{p}}'^*_\perp)}{\pi'_-} \right] \gamma^0 \tilde{F}^{(\pm)}, \\ \tilde{F}^{(\pm)} = \frac{\pm i I_2}{(2\pi)^{d-2}} \exp \left\{ \frac{i}{2} \left[eE \left(\frac{x_-^2 - x'^2_-}{2} - t^2 + t'^2 \right) - \right. \right. \\ \left. \left. - p_- (x_+ - x'_+) \right] - i \left(b_\pm - \frac{i\pi}{2eE} \right) m^2 \right\}, \\ I_2 = \int \exp \left[-i \left(b_\pm - \frac{i\pi}{2eE} \right) p_\perp^2 + i(\mathbf{r}_\perp - \mathbf{r}'_\perp) \mathbf{p}_\perp \right] d\mathbf{p}_\perp, \\ b_\pm = \left(\ln(\pm i \tilde{\pi}_-) - [\ln(\pm i \tilde{\pi}'_-)]^* \right) / (2eE).$$

Полагая $y_- \neq 0$, выполним в интеграле $S^p(X, X')$ замену переменных

$$s = b_- - i\pi/(2eE),$$

так что

$$\operatorname{Re}(s) = \frac{1}{2eE} \log \left| \frac{\pi_-}{\pi'_-} \right|, \\ \operatorname{Im}(s) = -\frac{\pi}{2eE} [\theta(+\pi_-) + \theta(-\pi_-)],$$

а в интеграле $S^{\bar{p}}(X, X')$ — замену переменных

$$s = b_+ - i\pi/(2eE),$$

так что

$$\operatorname{Re}(s) = \frac{1}{2eE} \log \left| \frac{\pi_-}{\pi'_-} \right|, \\ \operatorname{Im}(s) = -\frac{\pi}{2eE} [\theta(-\pi_-) + \theta(-\pi'_-)].$$

Тогда

$$S^p(X, X') = - \int_{\Gamma_p} f(X, X'; s) ds - \\ - \theta(-y_-) \int_{\Gamma_2 + \Gamma_3 - \Gamma_p} f(X, X'; s) ds, \\ S^{\bar{p}}(X, X') = - \int_{\Gamma_p} f(X, X'; s) ds - \\ - \theta(+y_-) \int_{\Gamma_2 + \Gamma_3 - \Gamma_p} f(X, X'; s) ds. \quad (57)$$

Замыкая контур интегрирования $\Gamma_2 + \Gamma_3 - \Gamma_p$ при $\operatorname{Re}s \rightarrow \pm\infty$ трансформируем его в контур Γ_p^1 (см. рис. 2) с радиусом, стремящимся к нулю:

$$S^p(X, X') = (\gamma P + m) \Delta^p(X, X'), \\ \Delta^p(X, X') = - \int_{\Gamma_p} f(X, X'; s) ds - \\ - \theta(-y_-) \int_{\Gamma_p^1} f(X, X'; s) ds; \\ S^{\bar{p}}(X, X') = (\gamma P + m) \Delta^{\bar{p}}(X, X'), \\ \Delta^{\bar{p}}(X, X') = - \int_{\Gamma_p} f(X, X'; s) ds - \\ - \theta(+y_-) \int_{\Gamma_p^1} f(X, X'; s) ds. \quad (58)$$

Заметим, что в пределе $s \rightarrow \pm 0 - i\pi/eE$ мы имеем

$$\begin{aligned} \lim_{s \rightarrow \pm 0 - i\pi/eE} f(X, X'; s) &= \\ &= \pm f_\perp(X, X') \delta(y^0) \delta(y^1), \\ f_\perp(X, X') &= -i \left(\frac{eE}{4\pi^2} \right)^{(d-2)/2} \times \\ &\times \exp \left(i\pi\gamma^0\gamma^1 - \frac{\pi m^2}{eE} - \frac{eE}{4\pi} |\mathbf{r}_\perp - \mathbf{r}'_\perp|^2 \right). \end{aligned} \quad (59)$$

Принимая во внимание (59), можно выделить все особенности в интеграле (58):

$$\begin{aligned} \int_{\Gamma_p^1} f(X, X'; s) ds &= \theta(y_1^2 - y_0^2) \Delta_R^p(X, X'), \\ \Delta_R^p(X, X') &= \int_{\Gamma_R^p} f(X, X'; s) ds. \end{aligned}$$

Здесь Γ_R^p — контур интегрирования проходящий по часовой стрелке в виде круга с центром $s = -i\pi/eE$ и достаточно малого радиуса R , так что внутри данного контура функция $f(x, x', s)$ не имеет других особенностей.

Приведем окончательный вид сингулярных функций $S^{p/\bar{p}}$:

$$\begin{aligned} S^{p/\bar{p}}(X, X') &= (\gamma P + m) \Delta^{p/\bar{p}}(X, X'), \\ -\Delta^p(X, X') &= \int_{\Gamma_p} f(X, X'; s) ds + \\ &+ \theta(y^1) \int_{\Gamma_p^1} f(X, X'; s) ds, \\ -\Delta^{\bar{p}}(X, X') &= \int_{\Gamma_p} f(X, X'; s) ds + \\ &+ \theta(-y^1) \int_{\Gamma_p^1} f(X, X'; s) ds. \end{aligned} \quad (60)$$

Заметим, что контур Γ_p^1 трансформируется в контур $\Gamma_2 + \Gamma_3 - \Gamma_p$. Ступенчатая функция $\theta(\pm y^1)$ может быть представлена как функция $\theta(\mathbf{y}\mathbf{E}/E)$ от проекции $\mathbf{y}\mathbf{E}/E$ вектора смещения \mathbf{y} на направление электрического поля.

Учитывая (60), мы получаем представление по собственному времени для сингулярных функций $S_{\text{in/out}}^c(X, X')$ и $S_{\text{in/out}}^\mp(X, X')$:

$$\begin{aligned} S_{\text{in/out}}^c(X, X') &= S^{p/\bar{p}}(X, X') + S^c(X, X'), \\ S_{\text{in/out}}^\mp(X, X') &= \mp S^{p/\bar{p}}(X, X') + S^\pm(X, X'). \end{aligned} \quad (61)$$

Заметим, что замена переменных в интеграле (57) была выполнена при условии $y_- \neq 0$. Однако представления (52) справедливы для всех y_- .

Можно проверить, что представления (60) (и следовательно, представления (61)) справедливы для произвольных X и X' . Для этого мы нужно показать, что для всех X и X' представления (60) удовлетворяют тому же самому уравнению Дирака, что и представления (50). Сначала мы должны проверить, что интегралы (60) удовлетворяют уравнению Дирака для всех X и X' . Затем остается убедиться, что при $t = t'$ условия Коши для обобщенных функций (50) совпадают с условиями для выражений (60).

Заметим, что соответствующие скалярные сингулярные функции могут быть получены из представлений для спинорных функций $\Delta^\pm(X, X')$, $\Delta^c(X, X')$, $\Delta(x, x')$ и $\Delta^{p/\bar{p}}(X, X')$, если формально положить все γ -матрицы равными нулю.

Мы рассмотрели случай, когда L -постоянное электрическое поле направлено вдоль оси x , $E_x = E$. Ясно, что выбор противоположного направления соответствует отражению $x \rightarrow -x$, $x' \rightarrow -x'$ и замене $\gamma^1 \rightarrow -\gamma^1$. Поэтому достаточно рассмотреть случай одного направления электрического поля. Мы видим, что представления (60) и (61) с точностью до калибровочного слагаемого совпадают с представлениями (20) и (21). Их легко записать в ковариантном виде с помощью тензора электромагнитного поля $F_{\mu\nu}$, см. (22). Напомним, что выражение (22) было найдено для постоянного электрического поля, задаваемого нестационарным потенциалом в рамках общей формулировки КЭД для такого случая [3].

4. ОБСУЖДЕНИЕ

В данной работе построены и исследованы сингулярные функции в КЭД сильного поля в T -постоянном электрическом поле и в КЭД сильного поля в L -постоянном электрическом поле. Для обоих случаев найдены in- и out-решения уравнения Дирака специального вида в переменных светового конуса. С помощью этих решений построены интегральные представления Фока–Швингера по собственному времени для всех видов сингулярных функций, необходимых для вычисления амплитуд вероятностей процессов и средних значений физических величин. Впервые получены интегральные представления Фока–Швингера для сингулярных функций в КЭД сильного поля в L -постоянном электрическом поле. Получены представления сингулярных функций в КЭД сильного поля в T -постоянном электрическом поле для произвольной ориентации внеш-

него электрического поля, что нетривиальным образом обобщает результаты работ [18, 19].

После стандартной ультрафиолетовой регуляризации и перенормировки все физические величины, которые могут быть получены при помощи причинного пропагатора $S^c(X, X')$, конечно в пределе $L \rightarrow \infty$ и $T \rightarrow \infty$. К примеру, это видно для вакуумных матричных элементов тензора энергии-импульса:

$$\begin{aligned}\langle T_{\mu\nu} \rangle^c &= \langle 0, \text{out} | T_{\mu\nu} | 0, \text{in} \rangle c_v^{-1}, \\ T_{\mu\nu} &= \frac{1}{2} (T_{\mu\nu}^{\text{can}} + T_{\nu\mu}^{\text{can}}), \\ T_{\mu\nu}^{\text{can}} &= \frac{1}{4} \left\{ \left[\hat{\Psi}^\dagger(X) \gamma^0, \gamma_\mu P_\nu \hat{\Psi}(X) \right] + \right. \\ &\quad \left. + \left[P_\nu^* \hat{\Psi}^\dagger(X) \gamma^0, \gamma_\mu \hat{\Psi}(X) \right] \right\},\end{aligned}$$

которые могут быть представлены в виде

$$\begin{aligned}\langle T_{\mu\nu} \rangle^c &= i \operatorname{tr} [A_{\mu\nu} S^c(X, X')] \Big|_{X=X'}, \\ A_{\mu\nu} &= \frac{1}{4} [\gamma_\mu (P_\nu + P_\nu^{**}) + \gamma_\nu (P_\mu + P_\mu^{**})].\end{aligned}$$

Естественно, что проблемы нестабильности вакуума и ее проявления совершенно различны в L -постоянном поле и T -постоянном поле для конечных интервалов T и L . Однако в пределе $T, L \rightarrow \infty$ соответствующие характеристики нестабильности вакуума оказываются одинаковыми. В частности, этот факт можно интерпретировать следующим образом: оба случая представляют собой разные регуляризации в идеализированном случае постоянного однородного электрического поля. Однако эта эквивалентность может отсутствовать для средних значений физических величин, которые могут быть получены с использованием сингулярных функций $S_{\text{in/out}}^c(X, X')$. Например, вакуумные средние тензора энергии-импульса,

$$\langle T_{\mu\nu} \rangle_{\text{in/out}} = \langle 0, \text{in/out} | T_{\mu\nu} | 0, \text{in/out} \rangle,$$

могут быть представлены в виде

$$\langle T_{\mu\nu} \rangle_{\text{in/out}} = i \operatorname{tr} [A_{\mu\nu} S_{\text{in/out}}^c(X, X')] \Big|_{X=X'},$$

где учтены вклады от $S^{p/\bar{p}}(X, X')$. Такие вклады неограниченно растут в пределах $T \rightarrow \infty$ и $L \rightarrow \infty$, см. работы [5, 20]. Этот факт связан с неограниченным ростом плотности рождающихся пар электронов и позитронов. Отсюда следует, что в таких случаях существует существенная физическая разница между T -постоянным и L -постоянным полем.

Тем не менее, в случаях, когда соответствующие вклады в диаграммы Фейнмана конечны, можно использовать полученные собственно-временные представления сингулярных функций $S^{p/\bar{p}}(X, X')$. Тогда регуляризация постоянного однородного электрического поля L -постоянным полем эквивалентна регуляризации T -постоянным полем при $T, L \rightarrow \infty$.

Финансирование. Исследование выполнено при финансовой поддержке Российского научного фонда (проект № 19-12-00042).

ЛИТЕРАТУРА

1. W. Greiner, B. Müller, and J. Rafelski, *Quantum Electrodynamics of Strong Fields*, Springer-Verlag, Berlin (1985).
2. J. Schwinger, Phys. Rev. **82**, 664 (1951).
3. D. M. Gitman, J. Phys. A **10**, 2007 (1977); E. S. Fradkin and D. M. Gitman, Fortschr. Phys. **29**, 381 (1981); E. S. Fradkin, D. M. Gitman, and S. M. Shvartsman, *Quantum Electrodynamics with Unstable Vacuum*, Springer-Verlag, Berlin (1991).
4. S. P. Gavrilov and D. M. Gitman, Phys. Rev. D **93**, 045002 (2016).
5. S. P. Gavrilov and D. M. Gitman, Phys. Rev. D **93**, 045033 (2016).
6. S. P. Gavrilov, D. M. Gitman, and A. A. Shishmarev, Phys. Rev. D **96**, 096020 (2017).
7. N. N. Bogoliubov and D. V. Shirkov, *Introduction to the Theory of Quantized Fields*, John Wiley & Sons. Inc., New York (1980).
8. G. V. Dunne (eds.), *From Fields to Strings: Circumnavigating Theoretical Physics*, World Scientific, Singapore (2005).
9. G. V. Dunne and T. Hall, Phys. Rev. D **58**, 10502 (1998).
10. V. P. Gusynin and I. A. Shovkovy, Can. J. Phys. **74**, 282 (1996); V. P. Gusynin and I. A. Shovkovy, J. Math. Phys. **40**, 5406 (1999).
11. H. Gies and F. Karbstein, J. High Energy Phys. **2017**(3), 108 (2017).
12. F. Karbstein, Phys. Rev. D **95**, 076015 (2017).
13. F. Karbstein, Phys. Rev. Lett. **122**, 211602 (2019).
14. S. P. Gavrilov and D. M. Gitman, Phys. Rev. D **95**, 076013 (2017).

15. S. P. Gavrilov, D. M. Gitman, and A. A. Shishmarev, Phys. Rev. D **99**, 116014 (2019).
16. D. G. Sevostyanov, I. A. Aleksandrov, G. Plunien, and V. M. Shabaev, arXiv:2012.10751 [hep-ph] (2020).
17. G. V. Dunne and Z. Harris, Phys Rev. D **103**, 065014 (2021).
18. S. P. Gavrilov and D. M. Gitman, J. Math. Phys. **37**, 3118 (1996).
19. S. P. Gavrilov, D. M. Gitman, and Sh. M. Shvartsman, Sov. J. Nucl. Phys. **29**, 567 (1979); S. P. Gavrilov, D. M. Gitman, and Sh. M. Shvartsman, Sov. J. Nucl. Phys. 715 (1979); S. P. Gavrilov, D. M. Gitman, and A. E. Gonçalves, J. Math. Phys. **39**, 3547 (1998).
20. S. P. Gavrilov, D. M. Gitman, and N. Yokomizo, Phys. Rev. D **86**, 125022 (2012).
21. N. B. Narozhnyi and A. I. Nikishov, Theor. Math. Phys. **26**, 9 (1976).
22. V. Fock, Phys. Z. Sowjetunion **12**, 404 (1937).
23. A. V. Shapovalov and I. V. Shirokov, Theor. Math. Phys. **104**, 921 (1995).
24. V. G. Bagrov, M. C. Baldiotti, D. M. Gitman, and I. V. Shirokov, J. Math. Phys. **43**, 2284 (2002).
25. A. I. Breev and A. V. Shapovalov, Symmetry **12**, 1867 (2020).
26. A. I. Breev, S. P. Gavrilov, and D. M. Gitman, Phys. Complex Systems **1**, 30 (2020).